

換気塔を含めた沈埋トンネルの地震応答解析

建設省土木研究所
建設省土木研究所
日本技術開発 KK

正会員 栗林 実一
正会員 羽立 隆幸
正会員 ○佐伯 光昭

1. まえがき

本報告は、臨海部の河川を横断する手段として計画された道路用沈埋トンネルと対象 I: 沈埋トンネル部、換気塔部、アプローチトンネルを含めた全体系としての地震応答解析を行って、トンネルと換気塔との結合方式および 解析モデルの相違が トンネル、換気塔の応答に及ぼす影響について調べたものである。図-1 に对象としたトンネルの概要を、図-2 に(下)沈埋トンネル部の断面をそれぞれ示す。

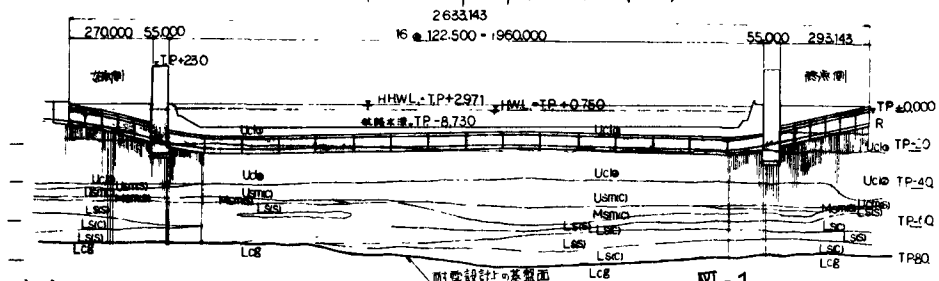


図-1

2. 解析方法

沈埋トンネルの地震応答解析には、従来、周辺地盤をバネ～質量系、トンネルを弾性床の“はり”とした集中質量法がよく用いられてきている。¹⁾ ここでは、建設省土木研究所が開発した地盤およびトンネル、換気塔などの構造材をそれぞれ バネ～質量系、骨組構造系に置換し

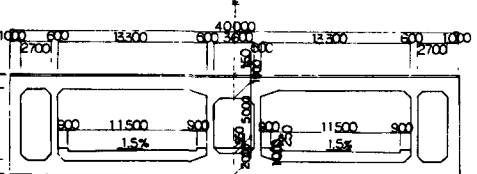


図-2

i) 構造物を支持する周辺地盤はせん断振動系のバネ～質量系モデルとする。ii) 地盤の剛性の低下及び表面線型的な考え方を適用することにより、その非線形性を考慮する。iii) トンネルはバネ支承により保持された“はり”として、周辺地盤とバネ、タッショポッドで連結されていく。(図-3 参照) iv) 換気塔はトンネルと同様に、図-4 に示すような骨組系と考え、鉛直の回転慣性モーメントを考慮するものとする。v) トンネルおよび換気塔は i) に述べた周辺地盤の地震時応答を入力することにより、それらの地震時応答を求めることができる。vi) トンネルエレメント間、トンネル～換気塔間での可変性系数について、部材間の相対的な伸縮もしくは回転運動に弹性的・比例するバネによりモデル化を行う。

3. 解析条件

3. 1 構造条件

表-1 は各部の断面諸定数を示す。可変性系数のバネ序数は 7 で、これは図-2 に示すところである。

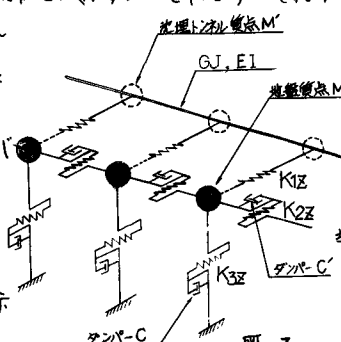


図-3

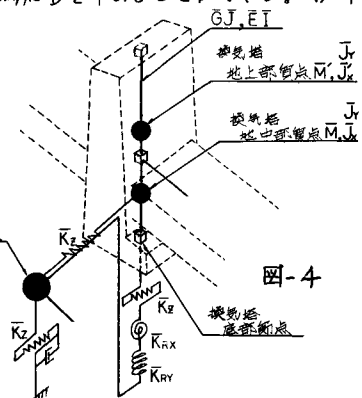
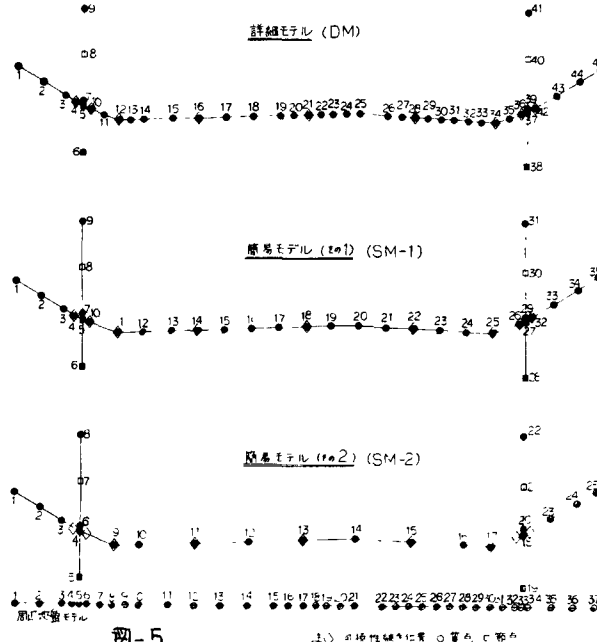


図-4

すに解析に用いたトンネル～換気塔等の骨組モデルを図-5に示す。同図から判るように今回の解析では地盤点数として37、構造物節点数としては45(DM), 35(SM-1), 25(SM-2)の3丁スエ打象とした。また、同図中には可挠性継手の使用位置を印してある。

3.2 地盤条件

図-1 地盤構成の概要、耐震計算上の基盤面の位置



置を示す。この基盤面より上方の表層地盤の諸定数を表-3に示す。同表中のS波速度Vsは各地層の平均N値から文献2により推定したものである。軸的せん断変形係数GdはVsと密接な関係があるため、せん断変形係数Gdは建設者土木研究所との実験結果を用いて地震時に主に3種類の断面形状を想定して求めた。図-3に示した地盤高さの質量M、質量と基盤と密接な剛性係数K3、高さ間のバネ係数K2はそれを次式により求めた。

$$M = (8/\pi^2) \cdot (\lambda/3) H \cdot L, K_3 = 2GL/H, K_2 = 8EH/\pi^2$$

ここでH,L,G,Eはそれぞれ表層地盤の厚さ、質点間の距離、表層地盤のせん断変形係数および圧縮変形係数である。トンネルと地盤との結合バネ係数K3はトンネルと半無限弹性地盤間に置かれた帶状の板によって求めた。 $K_{1x} = K_{1z} = G \cdot L, K_{1y} = E \cdot L$

x ：軸方向、 y ：鉛直方向、 z ：トネル軸線水平方向
 K_1, K_2, K_3 を求める際のG, Eは表層地盤と一層系と看做した場合の換算値である。換気塔部の基礎ハーネスについては床下の剛性から回転およびねじりバネ係数E、水平バネ係数K2、垂直バネ係数K3についての地盤の切入部の抵抗を考慮して、それを求めている。

3.3 入力地震動条件

根室半島沖地震の際に静内橋の地下40m ($M=7.4, \Delta=305\text{km}$)で観測された加速度記録 (41gal 最大)を用い、F. 実際の解析における最大値：水平 (50gal 鋼直 75gal)、正規化したものを用いている。図-6は原波形と、図-7は

表-1 トンネル断面諸定数

| | コンクリート 剛性係数 E | 断面積 $A(\text{m}^2)$ | 断面2:ズキーネント 水平面内 | 鉛直面内 |
|--------|-----------------------|------------------------|--------------------|--------|
| 始端側陸上部 | 2.70×10^6 | 178 ~ 206 | ~ 43300 | ~ 4100 |
| 海底部 | 3.0×10^6 | 137 | 20700 | 1640 |
| 終端側沿岸部 | 2.70×10^6 | 137 ~ 155 | ~ 18500 | ~ 2280 |

表-2 可挠性継手の八不等式

| | エレメント間 | エレメント～ 換気塔面 |
|--------------|--------------------|--------------------|
| 重力方向弾性Kg(%) | 2.68×10^5 | 1.79×10^5 |
| 鉛直方向せん断Kg(%) | 1.00×10^5 | 同上 |
| 水平方向せん断Ke(%) | 1.00×10^5 | 1.00×10^5 |
| 鉛直面内回転Kg(%) | 8.00×10^6 | 5.00×10^6 |
| 水平面内回転Ke(%) | 1.50×10^8 | 1.00×10^8 |

表-3 表層地盤の土壤諸定数 土被り厚h=0.2

| 地名 | 層厚 $Y_i(\text{m})$ | N値 $V_i(\text{%)}$ | Gd (kgf/cm^2) |
|----|-----------------------|-----------------------|---------------------------|
| 冲 | R 塗土 | 1.80 | 4 138 600-1200 |
| 河 | Ucl1 油性土 | 1.50 | 0 110 1200 |
| 河 | Ucl2 油性土 | 1.45 | 0 110 1160 |
| 層 | Usn1 油性土 | 1.70 | 2 151 2570 |
| 洪 | Usn2 砂質土 | 1.75 | 6 150 1420-1740 |
| 洪 | Msnt1 油性土 | 1.75 | 6 239 8450 |
| 洪 | Msnt2 E1質土 | 1.80 | 25 307 13460 14330 |
| 積 | Lc 花生土 | 1.70 | 15 282 11480 |
| 層 | Ls シリニ | 1.85 | 50 334 16670 17940 |

N値=0の場合はVsの値は東京地盤図にあります。

絶対最大加速度応答スペクトル倍率内にそれぞれ示す。

4. 解析結果

表-4-1 長床側換気塔の1次の固有周期 E. 表-5
には同じく長床側換気塔の末端での最大水平変位、加速度

および角度の最大曲げモーメントをそれぞれ示す。こ

れらの結果はトンネルと換気塔間の結合方式、解析モデルの相違による換気塔の振動状態、応答は大きさに影響はないことからかとなつた。

トンネル部の応答については軸力分布を図-8に、トンネル直角方向水平面内の曲げモーメントの分布を図-9にそれぞれ代表例として示す。また図-10には可撓性維手の軸方向相対変位量(片振幅)の分布を示す。これら

の図から、つぎの事項を指摘できる。
i) トンネルと換気塔間の結合方式の相違によつて換気塔、近いトンネルの応答断面力は大きく異なり、剛結合よりも剛結合の場合の方が大きくなることが確認された。

ii) トンネルと換気塔間の結合方式を表す始点換気塔最大水平変位、加重衡値、底面での最大曲げモーメント

剛結合した場合 トンネルの応答断面力に及ぼす影響範囲はせん断力が最も局部的で次いで曲げモーメント、軸力の順に、換気塔より遠方に及ぶことか判明した。iii) 可撓性維手に生じる相対軸方向変位量についてはトンネルと換気塔との結合方式を剛結合とした場合

換気塔最も近いエレメント間の維手(図-10でのCおよびGの位置)での値が水底中央部の値に比べて倍以上となり、端部に集中する傾向を示すことや明らかとなった。iv) 水底部分のトンネルの応答断面力の大きさは解析モデル(質量数)により影響されるようである。

上記i)の事項を定量的に調べるためにプロットしたもののが図-11である。同図は横軸に断面力の種類、縦軸にはトンネルと換気塔との結合条件の影響を受けたものと考えられる水底中央部での

のトンネル応答断面力に対する換気塔直近でのトンネル応答断面力との比Dをとって解析モデルをパラメータ化したものである。これによればトンネルと換気塔間の結合方式を剛結合とした場合、Dは軸力で最も小さく

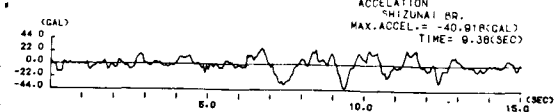


図-6 静地地盤動

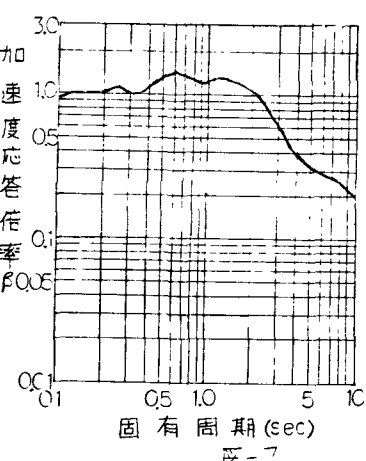


図-7

| モデル | 方向 | 換気塔-直角方向 | | 応答率 | |
|------|----|----------|-------|-----|---|
| | | 初期 | 剛 | 初期 | 剛 |
| DM | 軸 | 0.849 | — | — | — |
| | 軸角 | 0.980 | — | — | — |
| SM-1 | 軸 | 0.842 | 0.904 | — | — |
| | 軸角 | 0.980 | 0.991 | — | — |
| SM-2 | 軸 | 0.870 | 0.932 | — | — |
| | 軸角 | 0.987 | 0.994 | — | — |

表-4 長床側換気塔の1次の固有周期

| モデル | 方向 | 最高水平変位 (cm) | | 最大水平加速度 (gal) | | 換気塔-直角方向 | |
|------|----|-------------|------|---------------|-------|----------|--------|
| | | 換気塔不居合 | 剛結合 | 換気塔-直角方向 | 剛結合 | 換気塔不居合 | 剛結合 |
| DM | 軸 | 26.2 | — | 236.5 | — | 364000 | — |
| | 軸角 | 26.4 | — | 225.7 | — | 307000 | — |
| SM-1 | 軸 | 25.9 | 26.2 | 234.5 | 240.5 | 333000 | 295000 |
| | 軸角 | 26.7 | 27.1 | 224.5 | 229.3 | 304000 | 329000 |
| SM-2 | 軸 | 26.6 | 27.1 | 244.3 | 253.3 | 356000 | 375000 |
| | 軸角 | 27.6 | 27.9 | 237.7 | 242.2 | 303000 | 378000 |

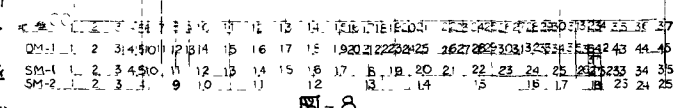
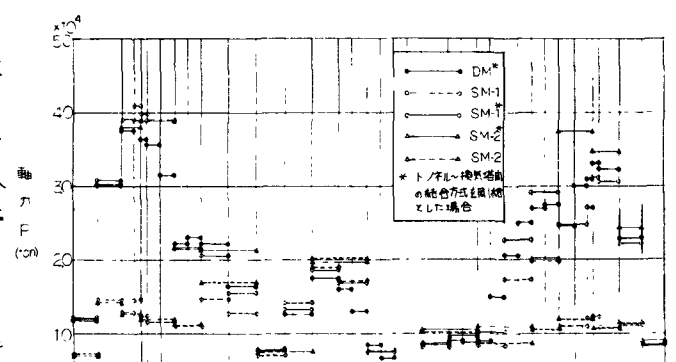


図-8

ついで水平面内の曲げモーメント、せん断力、鉛直面内の曲げモーメント、せん断力の順に大きくなっていること、換言すればトンネルと換気塔との剛結合とした場合には軸力に打たる影響が最も小さいことと示している。図-12は解釈モデルの相違による水底中央部でのトンネル断面力の変化の状況を調べるために質点数の最も多いDMモデルの断面力(=計算各モデルの断面力の比)を着目してまとめた結果を示す。同図から軸力について(モードの相違による影響を受けてない)他の諸力についてはいかにも質点数が減少するにつれて、断面力は減少し、その程度は水平面内よりも鉛直面内の断面力の方が著しくなることなどが明るかとなる。

5. 結論

延長約2.6km 6車線
緑道結合埋設トンネル
について換気塔を含む
全体系の地震応答解析
E. 基盤入力として根室半島沖地震の震源内
地の地下40mで記録され
た加速度波形を水平150gal、鉛直75galに正規化
したものを使用して行
た結果次の事項が明らか
かとなった。
1) 換気塔の振動性状は換気塔→トン
ネル間の結合方式には大きく
影響しない。
2) トンネル
の断面力は換気塔との結合方式により影響され剛結合の場合に換気
塔直近で増加するが、その程度範囲は断面力の種類により異なる。

3) 今回採用した方法では、トンネル断面力はその解釈モデル(質点剛構造)により影響されるが、その程度はよくなく、曲げモーメントやせん断力には著しいのに対し、軸力ではほとんど影響がない。

参考文献
1) 田村・岡本・浜田、Dynamic Behavior of a Submerged Tunnel during Earthquakes
東大研報告No.24, 1975
2) 岩崎・龍岡・佐伯、N値におけるせん断波の震源例別 第12回土壤工学研究発表会1977

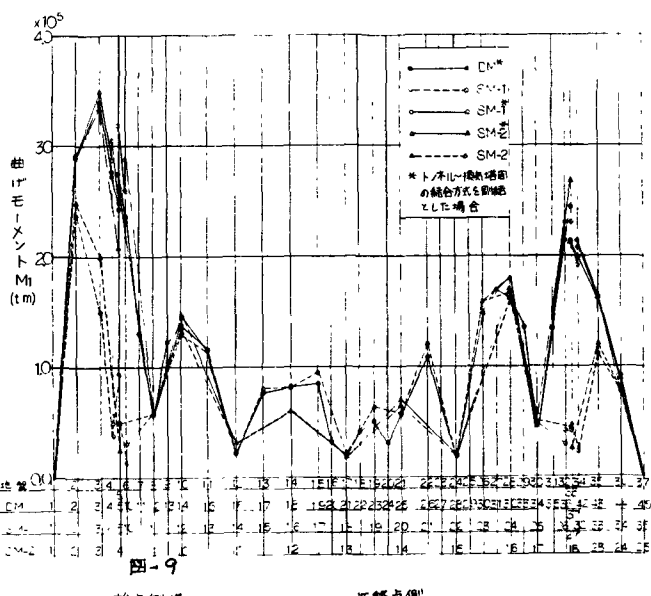


図-9 始点側 延長点側 A-I 可変剛結合位置

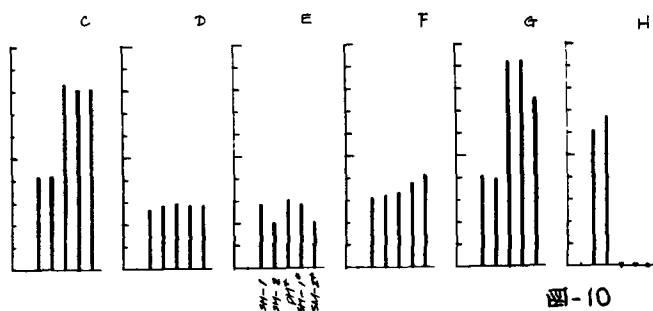


図-10

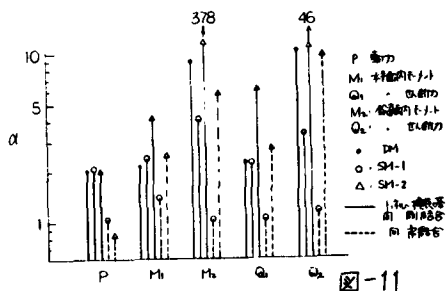


図-11

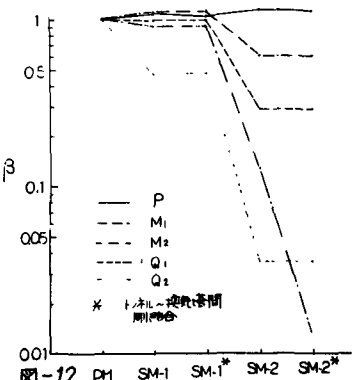


図-12 DM SM-1 SM-1* SM-2 SM-2*